

Centro de Investigación en Matemáticas, A.C. Métodos Numéricos

Tarea 07

José Miguel Saavedra Aguilar

Resumen

En esta tarea se explora el método de Iteración en subespacios y el método del cociente de Rayleigh para encontrar los eigenpares de una matriz. También se estudia la factorización QR de una matriz y el método de gradiente conjugado para sistemas lineales.

1. Metodología

1.1. Método de Iteración en Subespacios

Sea $A \in \mathbb{R}^{n \times n}$ simétrica. El teorema de Factorización Espectral nos indica que existen $Q, \lambda \in \mathbb{R}^{n \times n}$ con Q ortogonal y Λ diagonal tales que $A = Q\Lambda Q^{\top}$. Las columnas de Q son los eigenvectores y los elementos de la diagonal de Λ son sus respectivos eigenvalores. En el método de iteración en subespacios buscamos encontrar p < n eigenpares de A. Sea Φ^n una matriz ortogonal que aproxima p eigenvectores de A. Definimos $K^n = \Phi^{n \top} A \Phi^n$ y obtenemos Z^n, D^n tales que $K^n = Z^n D^n Z^{n \top}$, esto es, la descomposición espectral de K^n . Posteriormente, $\tilde{\Phi}^n = \Phi^n Z^n$, para finalmente tener $\Phi^{n+1} = f(\tilde{\Phi}^n)$, donde f es una función de actualización de $\tilde{\Phi}^n$.

Para obtener los eigenpares absolutamente más grandes, la función de actualización f será una iteración del método de la potencia generalizado para los p vectores propios más grandes de A. De forma similar, si deseamos obtener los eigenpares absolutamente más pequeños, la función de actualización f será una iteración del método de la potencia inversa generalizado para los p vectores propios más pequeños de A.

Si las columnas de Φ^n son efectivamente eigenvectores de $A,\,K^n$ será diagonal, $Z^n=\mathbf{I}(p)$ y $\tilde{\Phi}^n=\Phi^n$.

1.2. Método del cociente de Rayleigh

Sea $A \in \mathbb{R}^{n \times n}$ y sea λ^0, v^0 una aproximación de λ, v un eigenpar de A. El método de Rayleigh consiste en actualizar v^n resolviendo el sistema:

$$(A - \lambda^n \mathbf{I}) v^{n+1} = v^n$$

Si $Av^{n+1} \approx \lambda^{n+1}v^{n+1}$, tenemos que

$$v^{n+1} (A - \lambda^n \mathbf{I}) v^{n+1} = v^{n+1} v^n$$

$$v^{n+1} (\lambda^{n+1} - \lambda^n) v^{n+1} = v^{n+1} v^n$$

$$(\lambda^{n+1} - \lambda^n) = \frac{v^{n+1} v^n}{v^{n+1} v^{n+1}}$$

De esta forma, $\lambda^{n+1} = \lambda^n + \frac{v^{n+1} \cdot v^n}{v^{n+1} \cdot v^{n+1}}$.

1.3. Factorización QR de una matriz

Sea $A \in \mathbb{R}^{n \times n}$. La factorización QR de una matriz consiste en encontrar $Q, R \in \mathbb{R}^{n \times n}$ tales que A = QR, $Q^{\top}Q = \mathbf{I}$ y R es triangular superior. Notamos $A_{:,1} = QR_{:,1}$, además $R_{:,1} = \begin{bmatrix} R_{1,1} & 0 & \dots & 0 \end{bmatrix}^{\top}$, por lo que:

$$A_{:,1} = R_{1,1}q_1$$

donde $q_i = Q_{:,i}$ es la i-ésima columna de Q. Como Q es ortogonal, $Q^{\top}A = R$, de forma que para j < i,

$$R_{i,j} = q_i^{\top} A_{:,j}$$

Así mismo, $A_{:,i} = R_{i,i}q_i + \sum\limits_{j=1}^{i-1} R_{j,i}q_j,$ de forma que

$$q_{i}^{\top} A_{:,i} = q_{i}^{\top} R_{i,i} q_{i} + q_{i}^{\top} \left(\sum_{j=1}^{i-1} R_{j,i} q_{j} \right) q_{i}^{\top}$$

$$q_{i}^{\top} A_{:,i} = R_{i,i}$$

$$\tilde{q}_{i} = A_{:,i} - \sum_{j=1}^{i-1} R_{j,i} q_{j}$$

$$q_{i} = \frac{1}{\|\tilde{q}_{i}\|_{2}} \tilde{q}_{i}$$

$$R_{i,i} = \|\tilde{q}_{i}\|_{2}$$

Una vez teniendo A = QR, podemos resolver el sistema Ax = b resolviendo $Rx = Q^{T}b$, recordando que R es triangular superior.

1.4. Gradiente Conjugado

Sea $A \in \mathbb{R}^{n \times n}$ simétrica y positiva definida, $b \in \mathbb{R}^n$ y considere el sistema Ax = b. El problema

$$x^* = \underset{x \in \mathbb{R}^n}{\operatorname{arg min}} \quad \phi(x) := \frac{1}{2} x^{\top} A x - b^{\top} x \tag{1}$$

es equivalente a resolver el sistema Ax = b, esto pues $\nabla \phi(x^*) = Ax^* - b = 0$ y $\nabla^2 \phi(x^*) = A$. En el método de gradiente conjugado buscamos un conjunto de vectores A conjugados $\{p_0, \dots, p_n\}$, pues de esta forma es posible resolver (1) en a lo más n pasos. Esto es posible si tenemos $x_0 \approx x^*$ y $\{p_0, \dots, p_n\}$ con $p_i^{\top} A p_j = 0$ para $i \neq j$, definiendo:

$$r_k = Ax_k - b (2)$$

$$\alpha_k = -\frac{r_k^\top p_k}{p_k^\top A p_k} \tag{3}$$

$$x_{k+1} = x_k + \alpha_k p_k \tag{4}$$

de esta forma $x_n = x^*$, ver [1].

En el método de gradiente conjugado buscamos construir las direcciones de descenso p_k como una combinación lineal de la dirección de máximo descenso, $\nabla \phi(x_k) = r_k$ y p_{k-1} , de forma que:

$$p_k = -r_k + \beta_k p_{k-1} \tag{5}$$

de forma que p_k, p_{k-1} sean A conjugados, de forma que $0 = p_{k-1}^\top A p_k = -p_{k-1}^\top A r_k + \beta_k p_{k-1}^\top A p_{k-1}$, teniendo así:

$$\beta_k = \frac{r_k^{\top} A p_{k-1}}{p_{k-1}^{\top} A p_{k-1}} \tag{6}$$

Es posible verificar [1] que α_k y β_k pueden ser calculadas de la forma:

$$\alpha_k = \frac{r_k^\top r_k}{p_k^\top A p_k} \tag{7}$$

$$\beta_{k+1} = \frac{r_{k+1}^{\top} r_{k+1}}{r_k^{\top} r_k} \tag{8}$$

1.4.1. Precondicionamiento

Es posible acelerar el método del gradiente conjugado si tenemos información de la distribución de los eigenvalores de A. Esto se consigue con un proceso llamado precondicionamiento, que consiste en cambiar x a \hat{x} tal que $\hat{x} = Cx$, con C no singular. De esta forma, el problema (1) se vuelve

$$\phi(\hat{x}) = \frac{1}{2} \hat{x}^{\top} \left(C^{-\top} A C^{-1} \right) \hat{x} - \left(C^{-\top} b \right)^{\top} \hat{x}$$
 (9)

Entonces, aplicamos el gradiente conjugado a \hat{x} y resulta que el algoritmo depende de $M = C^{\top}C$. El algoritmo queda:

$$\alpha_k = \frac{r_k^\top y_k}{p_k^\top A p_k} \tag{10}$$

$$My_{k+1} = r_{k+1} (11)$$

$$\beta_k = \frac{r_{k+1}^{\top} y_{k+1}}{r_k^{\top} y_k} \tag{12}$$

$$p_{k+1} = -y_{k+1} + \beta_{k+1} p_k \tag{13}$$

El caso M = diag(A) se conoce como precondicionador de Jacobi.

2. Pseudocódigo

Algoritmo 1: Método de la Iteración en Subespacios para los p eigenvalores más grandes

```
Entrada: A, \Phi^0, tol, maxIter

Salida: \Phi, \Lambda

1 \tilde{\Phi}^0 \leftarrow A\Phi^0;

2 \Phi^1 \leftarrow \text{ortogonalizar}(\tilde{\Phi}^0);

3 K^1 \leftarrow \Phi^{1\top} A\Phi^1;

4 i \leftarrow 1;

5 mientras i < maxIter y \frac{\|\Phi^i_{:,1} - \Phi^{i-1}_{:,1}\|}{\|\Phi^i_{:,1}\|} > tol hacer

6 Z^i \leftarrow \text{metodoJacobi}(K^i);

7 \tilde{\Phi}^i \leftarrow A\Phi^i Z^i;

8 \Phi^{i+1} \leftarrow \text{ortogonalizar}(\tilde{\Phi}^i);

9 K^{i+1} \leftarrow \Phi^{i+1\top} A\Phi^{i+1};

10 i \leftarrow i+1;

11 fin

12 \Phi \leftarrow \Phi^i;

13 \Lambda \leftarrow \text{diag}(K^i);
```

Algoritmo 2: Método de la Iteración en Subespacios para los p eigenvalores más chicos

```
Entrada: A, \Phi^0, tol, maxIter

Salida: \Phi, \Lambda

1 resolver A\tilde{\Phi}^0 = \Phi^0;

2 \Phi^1 \leftarrow \text{ortogonalizar}(\tilde{\Phi}^0);

3 K^1 \leftarrow \Phi^{1\top} A\Phi^1;

4 i \leftarrow 1;

5 mientras i < maxIter y \frac{\|\Phi^i_{:,1} - \Phi^{i-1}_{:,1}\|}{\|\Phi^i_{:,1}\|} > tol hacer

6 Z^i \leftarrow \text{metodoJacobi}(K^i);

7 resolver A\tilde{\Phi}^i = \Phi^i Z^i;

8 \Phi^{i+1} \leftarrow \text{ortogonalizar}(\tilde{\Phi}^i);

9 K^{i+1} \leftarrow \Phi^{i+1} A\Phi^{i+1};

10 i \leftarrow i+1;

11 fin

12 \Phi \leftarrow \Phi^i;

13 \Lambda \leftarrow \text{diag}(K^i);
```

```
Algoritmo 3: Método del cociente de Rayleigh

Entrada: A, v^0, \lambda^0, tol, maxIter
Salida: v, \lambda

1 i \leftarrow 0;

2 mientras i < maxIter y \mid \lambda^i - \lambda^{i-1} \mid > tol hacer

3 | resolver (A - \lambda^i \mathbf{I}) v^{i+1} = v^i;

4 | \lambda^{i+1} = \lambda^i + \frac{v^{i+1} \top v^i}{v^{i+1} \top v^{i+1}};

5 | i \leftarrow i+1;

6 fin

7 v \leftarrow v^i;

8 \lambda \leftarrow \lambda^i;
```

```
Algoritmo 4: Factorización QR de una matriz

Entrada: A
Salida: Q, R

1 para i = 1 : n hacer

2 para j = 1 : i - 1 hacer

3 R_{i,j} \leftarrow Q_{:,i}^{\top} A_{:,j};

4 fin

5 \tilde{q}_i \leftarrow A_{:,i} - \sum_{j=1}^{i-1} R_{j,i} Q_{:,j};

6 Q_{:,i} \leftarrow \frac{1}{\|\tilde{q}_i\|_2} \tilde{q}_i;

7 R_{i,i} \leftarrow \|\tilde{q}_i\|_2;

8 fin
```

```
Algoritmo 5: Gradiente Conjugado

Entrada: A, b, x^0, tol, maxIter
Salida: x

1 r^0 \leftarrow Ax^0 - b;
2 p^0 \leftarrow -r^0;
3 i \leftarrow 0;
4 mientras i < maxIter y || r^i || > tol hacer

5 | \alpha^i \leftarrow -\frac{r^{i^\top}r^i}{p^{i^\top}Ap^i};
6 x^{i+1} \leftarrow x^i + \alpha^i p^i;
7 r^{i+1} \leftarrow Ax^i - b;
8 \beta^{i+1} \leftarrow \frac{r^{i+1^\top}r^{i+1}}{r^{i^\top}r^i};
9 p^{i+1} = -r^{i+1} + \beta^{i+1}p^i;
10 i \leftarrow i+1;
11 fin
12 x \leftarrow x^i
```

Algoritmo 6: Gradiente Conjugado Precondicionado

```
Entrada: A, b, x^0, M, tol, maxIter
Salida: x

1 r^0 \leftarrow Ax^0 - b;

2 resolver My^0 = r^0;

3 p^0 \leftarrow -r^0;

4 i \leftarrow 0;

5 mientras i < maxIter \ y \ || r^i || > tol \ hacer

6 \alpha^i \leftarrow -\frac{r^{i^\top}y^i}{p^{i^\top}Ap^i};

7 x^{i+1} \leftarrow x^i + \alpha^i p^i;

8 r^{i+1} \leftarrow Ax^i - b;

9 resolver My^{i+1} = r^{i+1};

10 \beta^{i+1} \leftarrow \frac{r^{i+1^\top}y^{i+1}}{r^{i^\top}y^i};

11 p^{i+1} = -y^{i+1} + \beta^{i+1}p^i;

12 i \leftarrow i+1;

13 fin

14 x \leftarrow x^i
```

3. Algoritmos

Para la ejecución de los algoritmos, debemos ejecutar

```
julia main.jl
```

desde la carpeta del problema. A continuación se muestra la ejecución de los algoritmos para los problemas de la tarea.

```
PS D:DocumentsJulialvaree07/Probleme15 julia main.ij
2.19816A seconds (6.34 M allocations: 316.79 M M B, 8.92% gc time, 99.98% compilation time;
El error de aproximación del 1º eigenpar es 2.84654e-19
El error de aproximación del 2º eigenpar es 8.94768e-09
```

(a) Ejecución del método de Iteración en Subespacios de E_3 para los 3 eigenpares más grandes

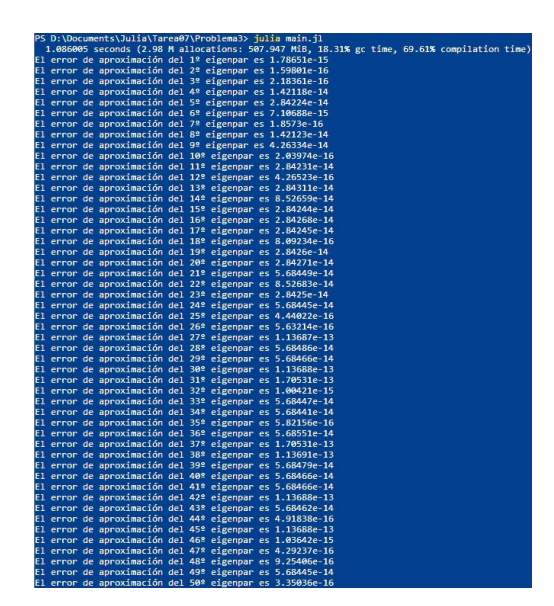
(b) Ejecución del método de Iteración en Subespacios de E_{50} para los 5 eigenpares más grandes

```
PS D-NDocuments/Uulia/Marea0/NProblems2> julia main.jl
__1.554753 seconds (6.54 Hallocations: 324.43 HB, 5.91% gc time, 99.99% compilation time
El error de aprocimación del 1º eigenpar es 4.0892-ell
El error de aprocimación del 2º eigenpar es 3.9808e-11
El error de aprocimación del 3º eigenpar es 4.722e-12
```

(a) Ejecución del método de Iteración en Subespacios de E_3 para los 3 eigenpares más chicos

```
95 D:Nocuments/NJIS1/arredP/Problems25 julia main.jl
2.513378 second (6.63 M alphactions: 486.219 MH, 8.59% gc time, 99.52% compilation time
El error de sproximación del 2º dispuns en 1.30888-11
El error de sproximación del 2º dispuns en 1.30888-11
El error de sproximación del 4º dispuns en 2.70868-12
El error de sproximación del 4º dispuns en 2.82886-07
```

(b) Ejecución del método de Iteración en Subespacios de E_{50} para los 5 eigenpares más chicos



PS 0:Nociments/Nolis\TraceB/NProblema3; jolis main.jl 0.738736 seconds (2.36 M allocations: 121.173 MiB, 3.80% gc time, 99.97% compilation time) El error de aproximación del 1º eigenpar es 2.77556e-17 El error de aproximación del 2º eigenpar es 2.77556e-17 El error de aproximación del 3º eigenpar es 1.77582e-15

(a) Ejecución del método del Cociente de Rayleigh de E_3 para todos los eigenpares

(b) Ejecución del método del cociente de Rayleigh de E_{50} para todos los eigenpares

PS D:\Documents\Julia\Tarea07\Problems4> julia main.jl 0.244122 seconds (670.08 k allocations: 35.108 MiB, 2.75% gc time, 99.98% compilation time) El error relativo de aproximación es 1.7729e-15

(a) Solución de $A_3x = b_3$ por factorización QR

(b) Solución de $A_{125}x=b_{125}$ por factorización QR

S D:\Documents\Julia\Tarea07\Problema4> julia main.jl 0.237974 seconds (670.45 k allocations: 35.554 MiB, 2.89% gc time, 99.08% compilation time 1 error relativo de appoximación ec 1.272004.19

PS D:\Documents\Julia\Tares#7\Problema5> julia main.jl 8.151958 seconds (577.91 k allocations: 38.211 MiB, 5.33% gc time, 99.97% compilation time) El acrop relativo de acrossimación es 8.22465-1.2

(a) Solución de $A_3x=b_3$ por Gradiente Conjugado

(b) Solución de $A_{125}x=b_{125}$ por Gradiente

PS D:\Documents\Julia\Tarea07\Problema6> julia main.jl 0.181230 seconds (594.13 k allocations: 31.031 MiB, 4.27% gc time, 99.96% compilation time fl error relativo de aproximación es 9.52616e-11

(a) Solución de $A_3x=b_3$ por Gradiente Conjugado con Precondicionamiento de Jacobi

(b) Solución de $A_{125}x=b_{125}$ por Gradiente Conjugado con Precondicionamiento de Jacobi

31.038 MiB, 4.07% gc time, 99.45% compilation time)

4. Resultados

Se probaron los métodos de Iteración en Subespacios y del cociente de Rayleigh para las matrices proporcionadas E_3 =Eigen_3x3.txt y E_{50} =Eigen_50x50.txt. En el método de Iteración en Subespacios se consideraron p=3 para E_3 y p=5 para E_{50} . La tolerancia para los métodos de Iteración en Subespacios es de 10^{-8} y 100000 iteraciones, mientras que para el cociente de Rayleigh es de 10^{-10} y 100 iteraciones.

Conjugado

Algoritmo	$\max E_3v - \lambda $	Tiempo	$\max E_{50}v - \lambda $	Tiempo
1	8.94768×10^{-9}	2.190164	4.43302×10^{-6}	2.27372
2	4.0087×10^{-11}	2.554753	4.38708×10^{-7}	2.513576
3	1.77982×10^{-15}	0.738736	1.70531×10^{-13}	1.086005

Tabla 1: Resultados para los algoritmos para encontrar eigenpares

De forma similar, se probaron los métodos de factorización QR y gradiente conjugado, con y sin precondicionamiento, para los sistemas $A_3x=b_3$ y $A_{125}x=b_{125}$, donde $A_3=M_sys_3x3.txt$, $b_3=V_sys_3x1.txt$, $A_{125}=M_sys_125x125.txt$ y $b_{125}=V_sys_125x1.txt$. Para los métodos de Gradiente Conjugado, se consideran 3m iteraciones y tolerancia de 10^{-10} .

Algoritmo	$A_3x = b_3$	Tiempo	$A_{125}x = b_{125}$	Tiempo
4	1.7729×10^{-15}	0.244122	1.2700×10^{-19}	0.237974
5	8.8241×10^{-12}	0.151958	2.2507×10^{-11}	0.137389
6	9.5262×10^{-11}	0.18123	1.5324×10^{-11}	0.164877

Tabla 2: Resultados para los algoritmos para resolver sistemas lineales

5. Conclusiones

Notamos que para obtener los eigenpares de A_i el mejor método es el del cociente de Rayleigh en el caso de tener una aproximación de los eigenpares, en otro caso, los métodos de iteración en subespacios son efectivos para obtener algunos eigenpares.

Para la solución de sistemas lineales, el método de gradiente conjugado es bueno, especialmente si n es grande, pues no requiere mucha memoria, lo que se refleja en el tiempo de ejecución. La desventaja es que este método solamente funciona para A simétrica y positiva definida.

Referencias

[1] J. Nocedal and S. Wright, *Numerical Optimization*, 2nd ed., ser. Springer Series in Operations Research and Financial Engineering. New York, NY: Springer, Jul. 2006.